



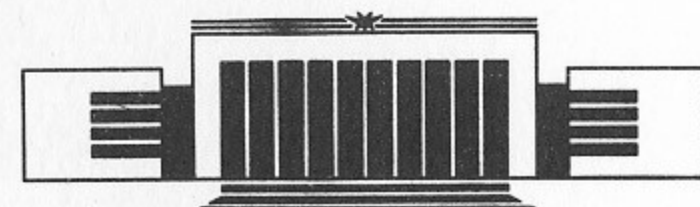
ИНСТИТУТ ЯДЕРНОЙ ФИЗИКИ СО АН СССР

А.Л. Герасимов, Н.С. Диканский

ФАЗОВАЯ КОНВЕКЦИЯ ПРИ ВСТРЕЧНОМ
ВЗАИМОДЕЙСТВИИ И ВРЕМЯ ЖИЗНИ ПУЧКОВ
В ЭЛЕКТРОН-ПОЗИТРОННЫХ НАКОПИТЕЛЯХ.

III. ОГРАНИЧЕНИЕ ВРЕМЕНИ ЖИЗНИ
ПОЛНЫМИ НАБОРАМИ РЕЗОНАНСОВ

ПРЕПРИНТ 89-3



НОВОСИБИРСК

© Институт ядерной физики СО РАН

1. ВВЕДЕНИЕ

В части II [1] настоящей работы был рассмотрен ограниченный времени жизни, возникающие под влиянием одного изолированного нелинейного резонанса. На самом деле, однако, встречный пучок возбуждает бесконечное число резонансов с убывающими с ростом порядка $N = |l| + |m|$ амплитудами гармоник V_{lm} . Пример сети резонансов с порядком $N \leq 18$ для реальных параметров накопителя в отсутствие «неидеальностей» приведен на рис. 1. Уже непосредственно из этого рисунка видно, что расстояние между резонансами заметно больше их ширин, что позволяет предположить [2] отсутствие крупномасштабной стохастичности и применимость описания динамики в рамках понятия изолированных нелинейных резонансов. Этот вывод подтверждается численным прослеживанием траекторий и не зависит, как показывают дополнительные данные такого же рода, от выбора рабочей точки v_{x_0}, v_{z_0} (при тех же параметрах ξ_x, ξ_z). Поэтому равновесная функция распределения (РФР) и время жизни пучка в ведущем экспоненциальном приближении могут быть вычислены для реального накопителя (в отсутствие синхротронных модуляций) методами Части II.

Из всего бесконечного набора резонансов только конечное число, как показано в Части II, оказывает влияние на РФР и время жизни пучка. Так, линии уровня функции Φ и все «работающие» резонансы для случая рис. 1 показаны на рис. 2. Видно, что траектория выхода на апертуру $A_z=40$ проходит по двум резонансам

(6, 4) и (4, 6). Таким образом, совместное воздействие нескольких резонансов на РФР существенно для описания ограничения времени жизни пучка эффектами встречи и данные Части II не являются исчерпывающими. В настоящей Части исследуется реалистическая ситуация с учетом полных наборов резонансов и проводится сравнение результатов с экспериментальными данными работы [3] о зависимости времени жизни пучков на установке ВЭПП-4 от различных параметров накопителя.

2. СКАНИРОВАНИЕ ПО БЕТАТРОННЫМ ЧАСТОТАМ

В исследовании влияния одного изолированного нелинейного резонанса на время жизни и полного набора таких резонансов, существует принципиальная разница. Действительно, влияние одного резонанса на время жизни зависит не от обеих частот v_{x0} , v_{z0} , а только от «расстройки» $\delta = lv_{x0} + mv_{z0} + n$ (см. [1]). Для изучения же воздействия полных наборов резонансов необходимо сканирование по обеим частотам v_{x0} , v_{z0} .

Программа сканирования по частотам вычисляла значения величин G_{30} , G_{35} (см. [1]) в узлах прямоугольной сетки частот v_{x0} , v_{z0} с шагом $\delta v_x = 0.002$, $\delta v_z = 0.002$, после чего стандартная графическая подпрограмма строила линии уровня величин G_{30} , G_{35} в плоскости v_{x0} , v_{z0} .

Основная серия результатов сканирования имеет целью сравнение с экспериментальными данными с установки ВЭПП-4, где проводились измерения зависимости скорости потерь частиц из позитронного пучка (обратная величина к времени жизни) от частот v_{x0} , v_{z0} [3]. По этой причине величины апертур в численном моделировании брались равными $A_x = 30$, 35 , так как в экспериментальных данных [3] апертура лежала в этом диапазоне.

Экспериментальные данные сканирования, взятые из [3], приведены на рис. 3. Видно проявление резонансов (4, -2), (1, 4), (5, 2), (7, 0). Последние два резонанса записаны в виде нечетных условно, поскольку точно неизвестно, нечетной или удвоенной четной гармоникой они возбуждаются. Линии уровня величины G_{30} , полученные в результате численного сканирования в том же, что и на рис. 3, квадрате частот v_{x0} , v_{z0} , при тех же значениях $\xi_x = 0.008$, $\xi_z = 0.03$ при различных вариантах включения «неидеальностей», показаны на рис. 4—8.

На рис. 4 показан «идеальный» случай — отсутствие машинной нелинейности и остаточных разведений по x и z . Наиболее ярко при этом на рисунке проявляется резонанс (4, -2). Заметим, что подпрограмма построения изолиний при используемом разрешении $\delta v = 0.002$ получает недостаточно плавно изменяющийся массив значений G_{30} , в результате чего узкие «хребты» резонансов для величины $\dot{N} \sim \exp(-G_{30})$ (как показывают дополнительные данные, для этого рисунка ширина хребтов по частоте $\delta v < 0.001$) часто показываются в виде отдельных «пиков». По той же причине на приводимых рисунках высота «хребтов» и «пиков» при $G_{30} \leq 50$ неоправданно завышается (величина G_{30} занижается). На самом деле, как видно из численных данных, значение G_{30} , меньшее 20, для случая рис. 4 имеется только на «хребте» резонанса (4, 2), для остальных же проявляющихся резонансов величина G_{30} заметно больше. Высота «хребта» резонанса (4, -2) соответствует приблизительно $G_{30} \approx 16$, что согласуется с представлением о том, что этот «хребет» создается воздействием только одного резонанса (4, 2) и с данными Части II. В окрестностях пересечений резонансов, величина G_{30} заметно уменьшается, что связано с одновременным воздействием резонансов типа изображенного на рис. 2. В целом, однако, большая часть плоскости v_{x0} , v_{z0} на приведенном рисунке имеет довольно большое значение $G_{30} > 50$.

На рис. 5 показаны для примера линии уровня величины G_{35} для того же, что и на рис. 4, случая. Видно, что для «высоких хребтов» с $G_{30} < 50$ такое увеличение апертуры не слишком существенно.

На рис. 6 показаны линии уровня величины G_{30} для тех же параметров, что на рис. 4, но при наличии положительной машинной нелинейности (см. [4]) с параметрами $C = 2.4 \cdot 10^{-5}$, $\beta_x/\beta_z = 2.5$. Предполагается [3], что в экспериментальных данных рис. 3 «естественная» машинная нелинейность имеет приблизительно такую величину. Из рис. 6 видно появление довольно большого количества новых «хребтов» (в основном принадлежащих суммовым резонансам), хотя численные данные говорят о том, что их высота, за исключением «хребта» резонанса (2, 8), соответствующего значению $G_{30} \approx 21$, довольно мала: $G_{30} \sim 27 \div 35$. Существенно заметить также, что высота «хребта» резонанса (4, -2) при включении положительной нелинейности понизилась до значения $G_{30} \approx 24$.

На рис. 7 показаны линии уровня величины G при параметрах рис. 4 при наличии отрицательной машинной нелинейности

$C = -2.4 \cdot 10^{-5}$. Видно уменьшение количества резонансных «хребтов». «Хребет» резонанса (4, -2) повышается до значения $G_{30} \approx 15.5$ и приобретает второй параллельный основному «сателлит» несколько меньшей высоты. Наличие такого второго хребта объясняется, как показывают дополнительные данные, образованием, при некоторых значениях расстройки δ , двойных линий резонанса (4, -2) и при отрицательных нелинейностях C . Резонанс (2, 8) пропадает совсем.

Таким образом, результаты проведенных расчетов сканирования по частотам v_{x0}, v_{z0} показывают довольно хорошее соответствие экспериментальным данным в предположении, что «естественная» нелинейность накопителя ВЭПП-4 являлась положительной и составляла приблизительно $C = 2.4 \cdot 10^{-5}$. Наиболее сильно проявляющимся резонансом является резонанс (2, 8), вторым, более слабым — резонанс (4, -2). Резонанс (7, 0), как уже говорилось в Части II, имеет чисто «одномерный» (по горизонтали) характер воздействия на РФР и не описывается в рамках нашего метода. Кроме того, как указано в [3], для этого резонанса, по-видимому, существенно влияние «машинных» гармоник. Резонанс (5, 2) в исследованных случаях нулевого разведения по x и z может проявляться только как «удвоенный» (10, 4) и оказывается слишком слабым по сравнению с зарегистрированным в эксперименте.

На рис. 8 показано влияние включения остаточных разведений $\Delta x = 0.1, \Delta z = 0.1$ для основного случая положительной нелинейности. Из-за значительного увеличения времени ЭВМ, связанного с резким увеличением числа «работающих» резонансов в плоскости амплитуд A_x, A_z , сканирование проводилось только на одной четверти площади всех приводимых до этого рисунков. При сравнении рис. 8 с рис. 6 можно заметить появление довольно высоких «пиков» на линии нового резонанса (5, 2). Как показывают численные данные, высота «хребта» этого резонанса соответствует приблизительно $G_{30} \approx 35$, что, с одной стороны, само по себе недостаточно для проявления в эксперименте, но, с другой стороны, при учете дополнительных факторов (например, синхротронной модуляции) может дать наблюдаемый эффект.

Распределение Φ в плоскости A_x, A_z для рабочей точки v_{x0}, v_{z0} в окрестности «хребта» резонанса (5, 2) рис. 8 показано на рис. 9. Основным «работающим» резонансом является резонанс (5, 2).

Из сравнения экспериментальных данных рис. 3 и результатов расчетов рис. 4—8 можно сделать еще один важный вывод. Действительно, хотя высота «хребта» резонанса (8, 2) на рис. 3 и на

рис. 6, 8 приблизительно одна и та же, ширина этого «хребта» в плоскости v_{x0}, v_{z0} довольно сильно различается: на рис. 3 она составляет приблизительно $\delta v \approx 0.004$, а на рис. 6, 8 соответствующая величина $\delta v < 0.001$. Естественно предположить, что причиной такого различия является влияние синхротронной модуляции (см., например, [5]), которая на установке ВЭПП-4 приводила к довольно большим колебаниям рабочей точки $\delta v_{z0} \approx 0.01$ [3]. Таким образом, можно предположить, что синхротронная модуляция весьма существенна для описания процессов, ответственных за ограничение времени жизни.

На рис. 10 показаны линии уровня величины G_{30} для больших значений $\xi_x = 0.016, \xi_z = 0.06$, соответствующих предельным токам пучков на установке ВЭПП-4 [3], при $C = 2.4 \cdot 10^{-5}$ и отсутствии «остаточных» разведений. Видно значительное расширение областей с малыми значениями $G_{30} < 30$. На рис. 11 показано влияние «остаточных» разведений $\Delta x = 0.1, \Delta z = 0.1$ для таких высоких значений ξ_x, ξ_z . Видно, что и в этом случае влияние остаточных разведений весьма значительно. Как свидетельствуют численные данные, на рис. 11 величина G_{30} почти на всем показанном участке плоскости v_{x0}, v_{z0} лежит в диапазоне от 20. до 30., что позволяет предположить существенное ограничение времени жизни пучка на значительной части этого участка. Это соответствует экспериментальным данным сканирования [3] при высоких значениях ξ , где наблюдалась именно такая ситуация.

3. ЗАВИСИМОСТЬ ВЛИЯНИЯ РЕЗОНАСОВ НА ВРЕМЯ ЖИЗНИ ОТ ВЕЛИЧИНЫ МАШИННОЙ НЕЛИНЕЙНОСТИ

В работе [3] приведены экспериментальные данные о зависимости высоты «хребтов» различных резонансов из числа проявляющихся на рис. 3 от величины машинной нелинейности. Для сравнения результатов расчетов по нашей методике с этими данными была использована программа, вычисляющая минимально возможную величину G_{30} при воздействии одного заданного резонанса, описанная в Части II [1]. Значения минимизированных величин G_{30} при различных значениях машинной нелинейности C для резонансов (4, -2) и (2, 8) приведены в таблице. Экспериментальные данные о зависимости скорости потерь частиц на «хребте» резонанса (2, 8) от величины машинной нелинейности, взятые из [3],

	$-1.5 \cdot 10^{-4}$	$-2.4 \cdot 10^{-5}$	0.	$2.4 \cdot 10^{-5}$	$7.8 \cdot 10^{-5}$	$1.5 \cdot 10^{-4}$
(2, 8)			28.9	22.9	21.9	23.3
(4, -2)	14.8	16.5	19.	23.8		

приведены на рис. 12. Поскольку скорость потерь частиц на апертуре $Z=30$ пропорциональна $\exp(-G_{30})$, то имеющийся на рис. 12 максимум потерь при $\beta_x = \frac{\partial v_x}{\partial a_x^2} \sim 2$ (соответствует значению $C = 7.8 \cdot 10^{-5}$) эквивалентен минимуму величины G_{30} , наличие которого видно из таблицы. Таким образом, для резонанса (2, 8) результаты расчетов и эксперимента на качественном уровне согласуются между собой. Причина немонотонного изменения G_{30} при увеличении машинной нелинейности C в наших расчетах может быть качественно понята из рассмотрения рис. 13—16, где показаны расположения резонанса и линии уровня Φ для различных значений C . Видно, что резонансная линия при увеличении параметра C наклоняется более круто, т.е. приближается к вертикали. За счет этого резонансная линия, соответствующая минимальному значению G_{30} , в нижней части начинается с меньших значений A_x и величина G_{30} уменьшается при увеличении C вплоть до значения $C \approx 7.8 \cdot 10^{-5}$. Увеличение G_{30} при дальнейшем увеличении C объясняется влиянием машинной нелинейности на ширину резонанса ΔA_x , ΔA_z , от которой зависит воздействие резонанса на распределение Φ . Действительно, величина резонансной гармоники не зависит от машинной нелинейности C , так что первое слагаемое в сумме (4.1)^{*)}, соответствующее чисто «асимптотическому» вкладу в увеличение Φ вдоль резонансной линии, также не зависит от C . Второе же слагаемое зависит от ширин ΔA_x , ΔA_z , которые в свою очередь зависят от нелинейности λ (так как $\Delta A_x \sim \sqrt{V_{lm}/\lambda}$), представляющей собой линейную комбинацию [6] производных полных (с учетом машинной нелинейности) сдвигов частот [4]. Нетрудно понять, что для резонанса (2, 8) для которого при данных параметрах образование «нулевой нелинейности» невозможно (см. Часть I [4]), величина λ монотонно увеличивается с ростом C («пучковая» и «машинная» часть λ имеют один знак). Поэтому

ширина ΔA_x , ΔA_z монотонно уменьшается с ростом C и величина второго вклада в приращение $\Delta\Phi$ (4.1) монотонно растет, что и приводит в конце концов к увеличению величины G_{30} при $C > 7.8 \cdot 10^{-5}$.

В таблице приведены также данные зависимости величины G_{30} от параметра C для резонанса (4, -2). Видно, что для этого резонанса, в отличие от резонанса (2, 8), зависимость $G_{30}(C)$ является монотонной. Распределения Φ для случаев, представленных в таблице, приведены на рис. 17—20. Поскольку время жизни T экспоненциально зависит от величины G_{30} : $T \sim \exp(G_{30})$, можно сделать вывод о том, что влияние резонансов на время жизни сильно зависит от машинной нелинейности C , и при различных C в экспериментальных измерениях могут проявляться разные резонансы.

4. ЗАКЛЮЧЕНИЕ

Предпринятые в Частях I, II [4, 1] и III настоящей работы исследования времени жизни пучка в электрон-позитронных накопителях являются конкретным воплощением развитых в [7] подходов. В работе [7] для системы взаимодействующих пучков, где движение частиц определяется трением, шумом и изолированными резонансами, в многомерном случае был обнаружен универсальный механизм возбуждения резонансами фазовой конвекции, т.е. циркулирующих по замкнутым контурам потоков фазовой плотности. Следствием этого явления — сильное увеличение вероятностей больших флюктуаций координат и импульсов. Было показано, что функция Φ , описывающая вероятность таких флюктуаций $w = Z \exp(-\Phi/\eta)$ в пределе слабого шума $\eta \rightarrow 0$, в многомерном случае сильно $\Phi_0 - \Phi \sim \Phi_0$ отличается от невозмущенной Φ_0 . Там же был построен общий метод вычисления функции Φ по заданному набору резонансов при произвольном соотношении декремента затухания α и силы возмущения ε . Эта функция определяет также и ведущий экспоненциальный множитель в среднем времени выхода частиц за границы заданной области (время жизни).

В настоящей работе разработанная общая методика применена для расчета времени жизни пучка в электрон-позитронном накопителе при воздействии эффектов встречи (в пренебрежении рассеянием на остаточном газе). Изучено влияние отдельных изолированных резонансов различных порядков на время жизни. Также

^{*)} Нумерация здесь и ниже относится к Части II [1].

исследована зависимость времени жизни пучка от рабочей точки v_{x0} , v_{z0} и от «неидеальностей» накопителя (остаточного разведения пучков, машинной нелинейности) при учете полных наборов резонансов. Проведенное сравнение с экспериментальными данными показывает, что многие явления, связанные с ограничением времени жизни пучков в электрон-позитронных накопителях, объясняются возбуждаемым встречным взаимодействием эффектом фазовой конвекции, обнаруженным и описанным в [7].

Авторы приносят благодарность Д.В. Пестрикову за внимание к работе и полезные замечания; А.Б. Темных за многочисленные разъяснения экспериментальных результатов.

ЛИТЕРАТУРА

- Герасимов А.Л., Диканский Н.С. Фазовая конвекция при встречном взаимодействии и время жизни пучков в электрон-позитронных накопителях. II. Ограничение времени жизни отдельными нелинейными резонансами.—Препринт ИЯФ СО АН СССР 88-97. Новосибирск, 1988.
- Chirikov B.V. Phys. Rep., 1979, v.52, p.263.
- Темных А.Б. Влияние кубической нелинейности ведущего магнитного поля накопителя на эффекты встречи на накопителе ВЭПП-4.—В кн.: Труды XIII Международной конференции по ускорителям частиц высоких энергий. Новосибирск, 1986, т.1, с.78; Диссертация на соискание уч. степ. кандидата физ.-мат. наук, ИЯФ СО АН СССР, Новосибирск, 1987.
- Герасимов А.Л., Диканский Н.С. Фазовая конвекция при встречном взаимодействии и время жизни пучков в электрон-позитронных накопителях. I. Каталог нелинейных резонансов.—Препринт ИЯФ СО АН СССР 88-60. Новосибирск, 1988.
- Gerasimov A.L., Izrailev F.M., Tennison J.L. Synchrotron Sideband Overlap in Electron-Positron Colliding Beams.—INP Preprint 87-69. Novosibirsk, 1987.
- Gerasimov A.L., Izrailev F.M., Tennison J.L. Nonlinear Resonances and Beam-Beam Effects for Elliptical Beams.—In: Proc. of the XIII Intern. Accel. Conf. Novosibirsk, 1986.
- Герасимов А.Л. Тепловое равновесие осциллятора при возбуждении изолированных резонансов.—Препринт ИЯФ СО АН СССР 87-100. Новосибирск, 1987.

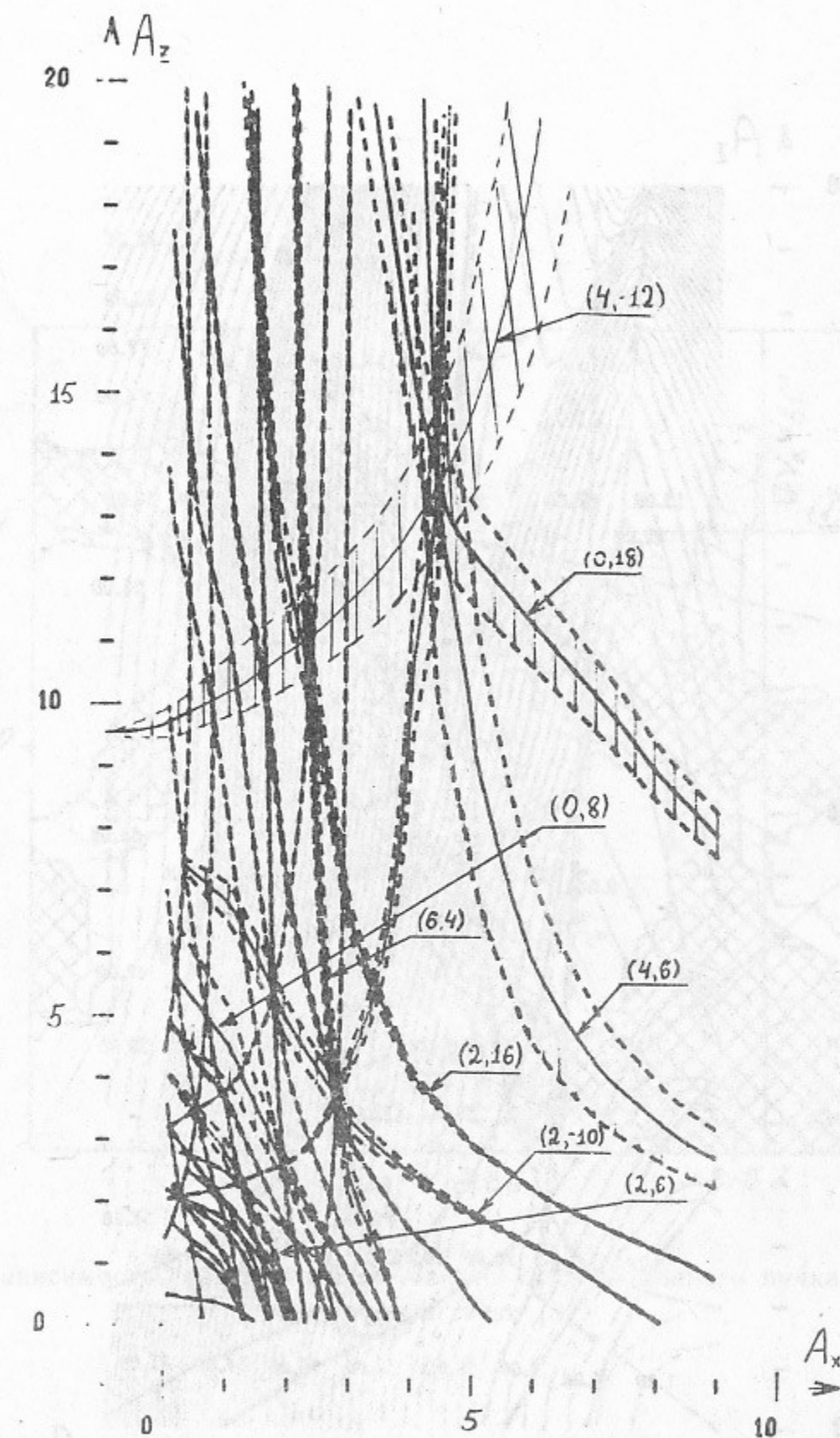


Рис. 1. Все резонансы с порядком $N = |l| + |m| \leq 18$ в плоскости A_x , A_z . Параметры $v_{x0} = 0.58$, $v_{z0} = 0.61$, $\xi_x = 0.03$, $\xi_z = 0.06$, $\kappa = 100$.

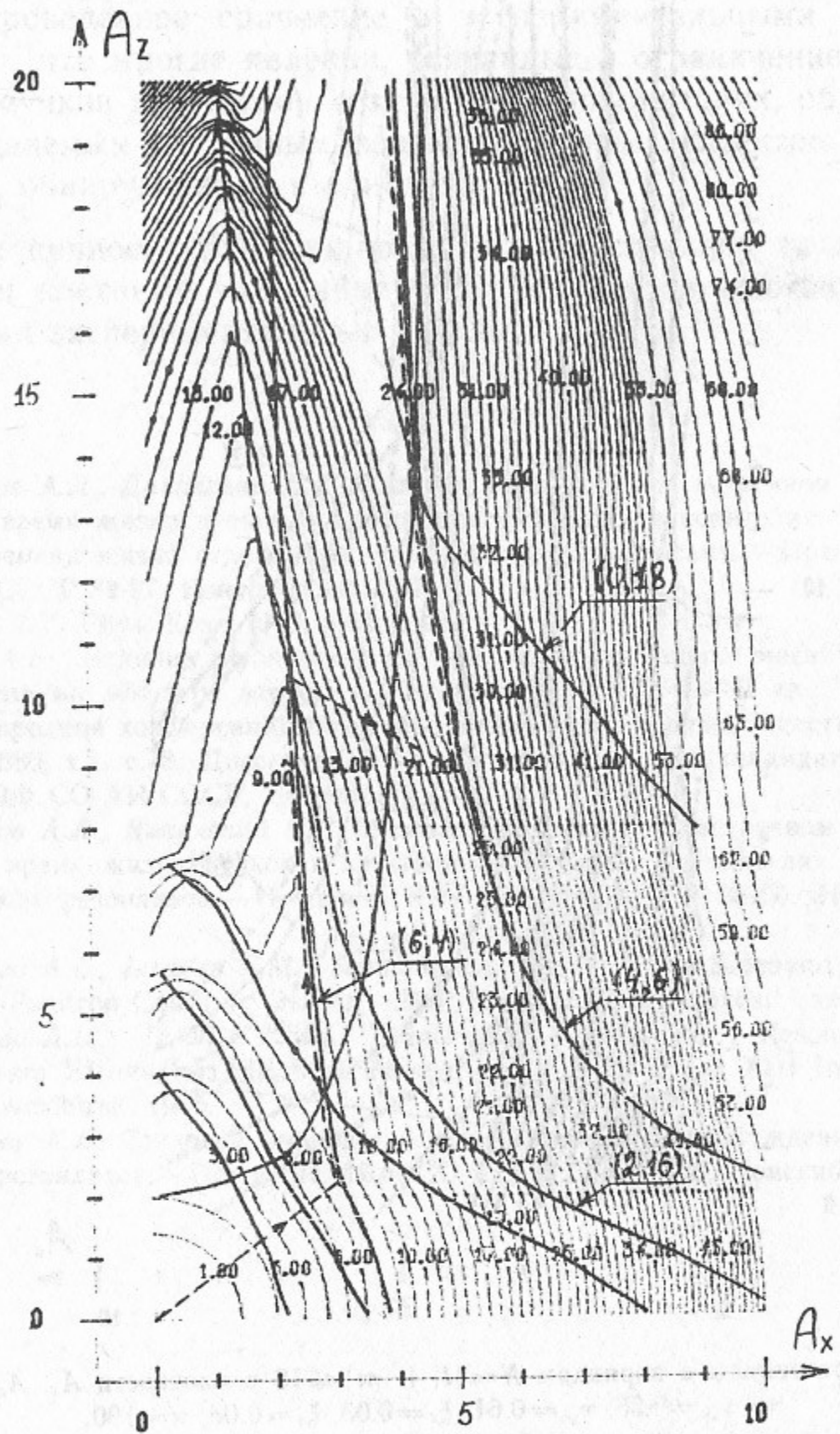


Рис. 2. Линии уровня функции Φ и все «работающие» резонансы для случая рис. 1.

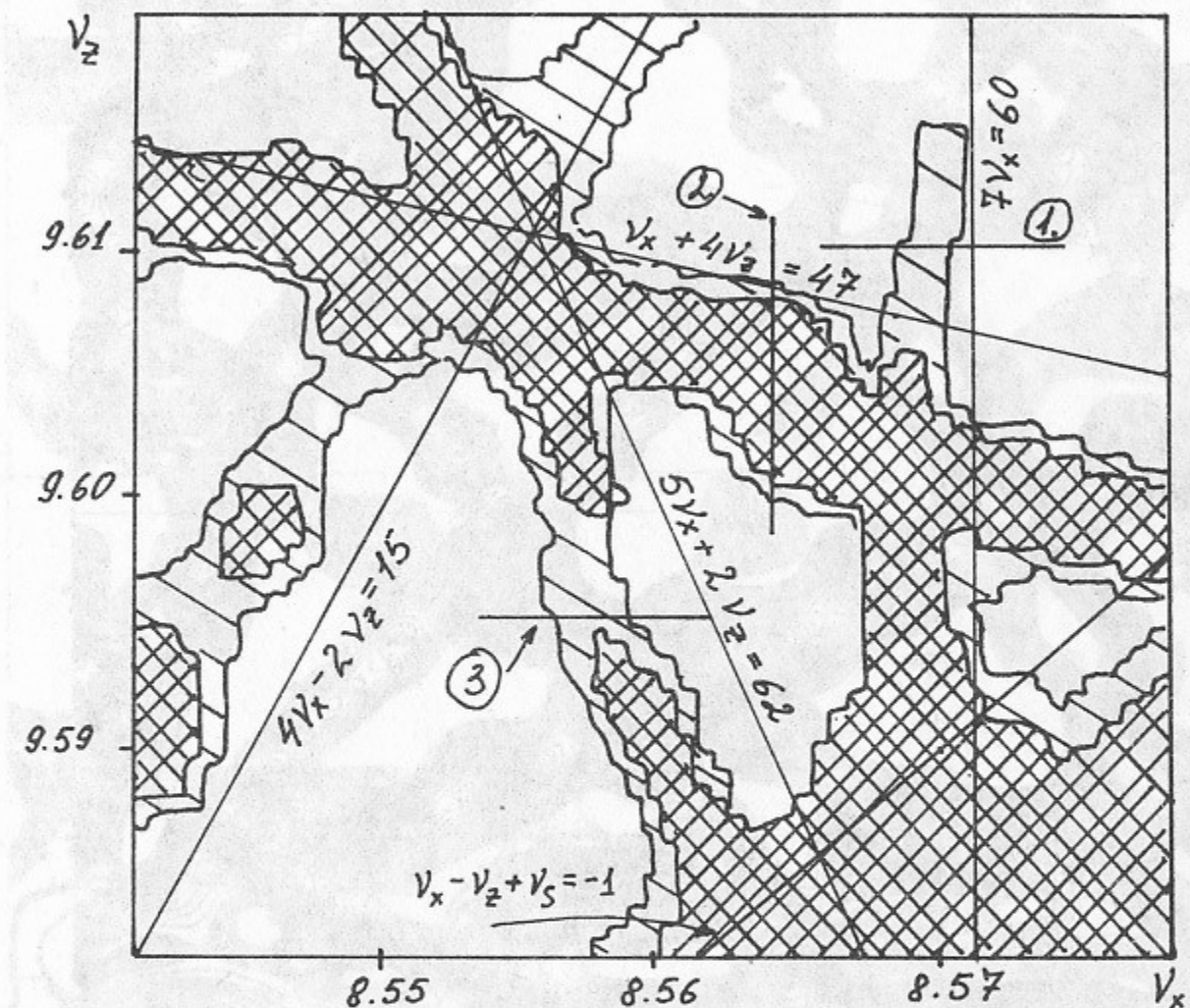


Рис. 3. Зависимость скорости потерь частиц из позитронного пучка от положения рабочей точки [3].

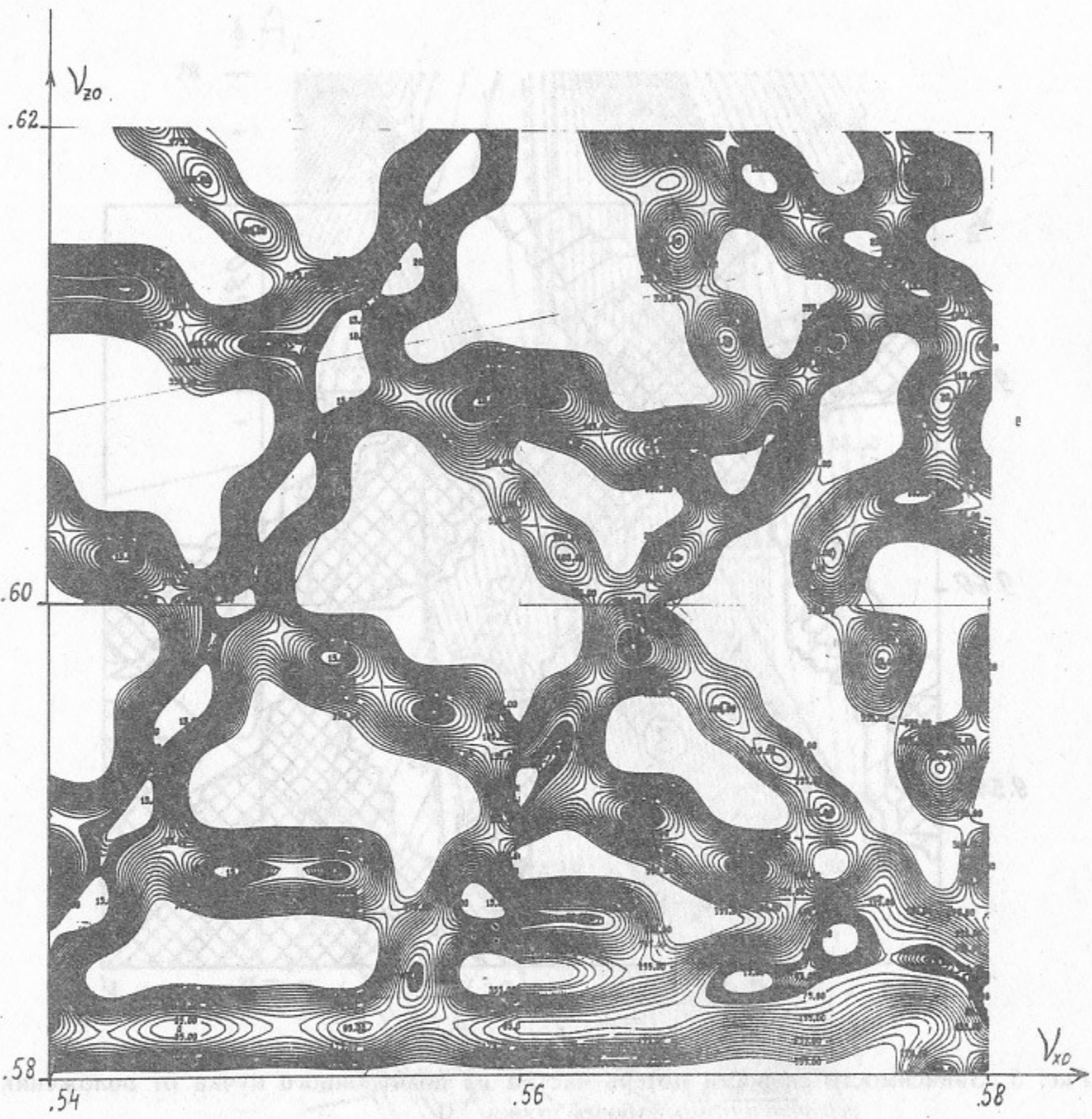


Рис. 4. Линии уровня величины G_{30} в плоскости бетатронных частот v_{x0} , v_{z0} . Показано два семейства линий уровня: от 13 до 55 с шагом $\Delta\Phi=3$ и от 55 до 310 с шагом $\Delta\Phi=20$. Параметры $\xi_x=0.008$, $\xi_z=0.03$, время затухания в числе столкновений со встречным пучком $N=5000$.

14

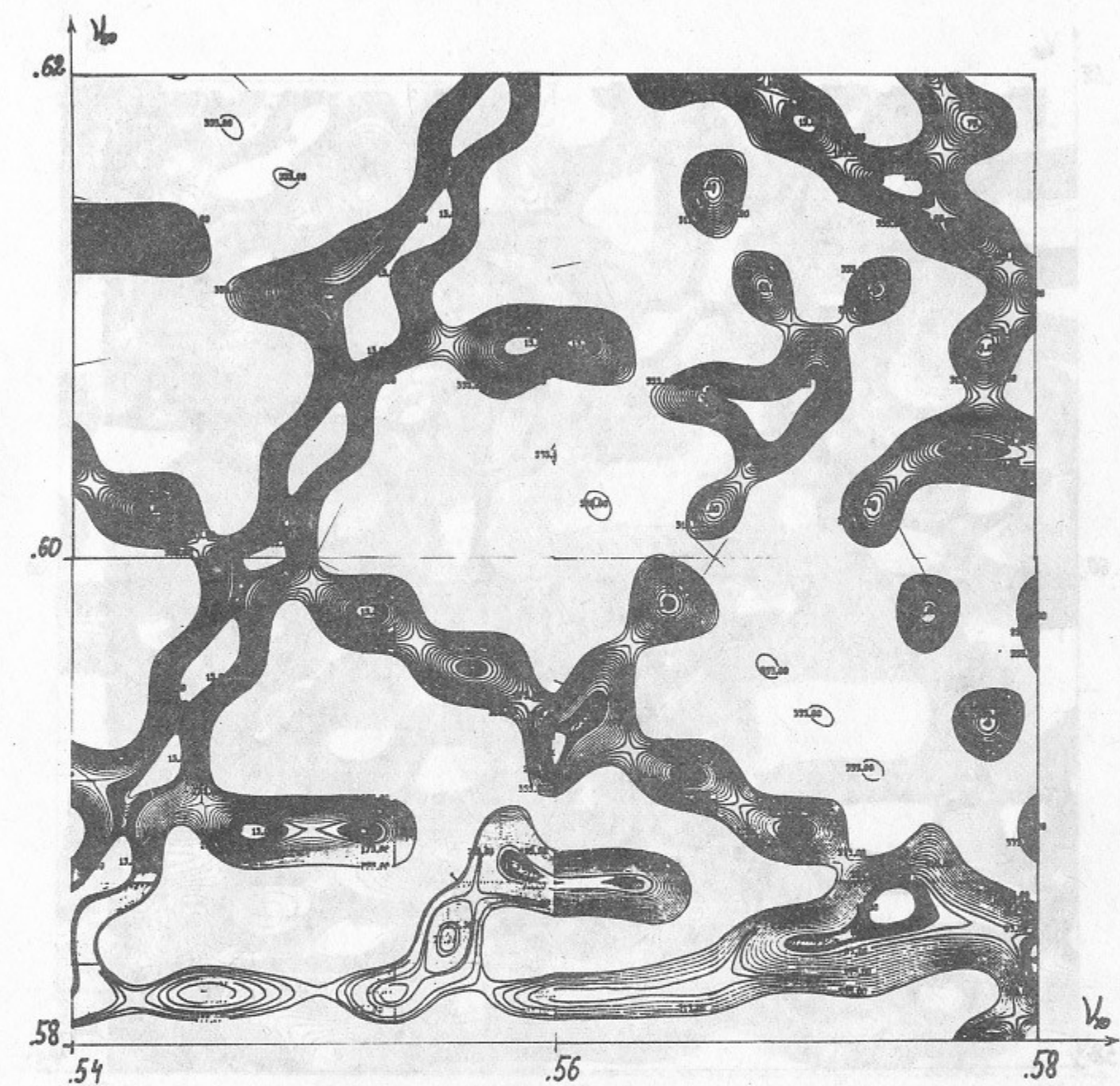
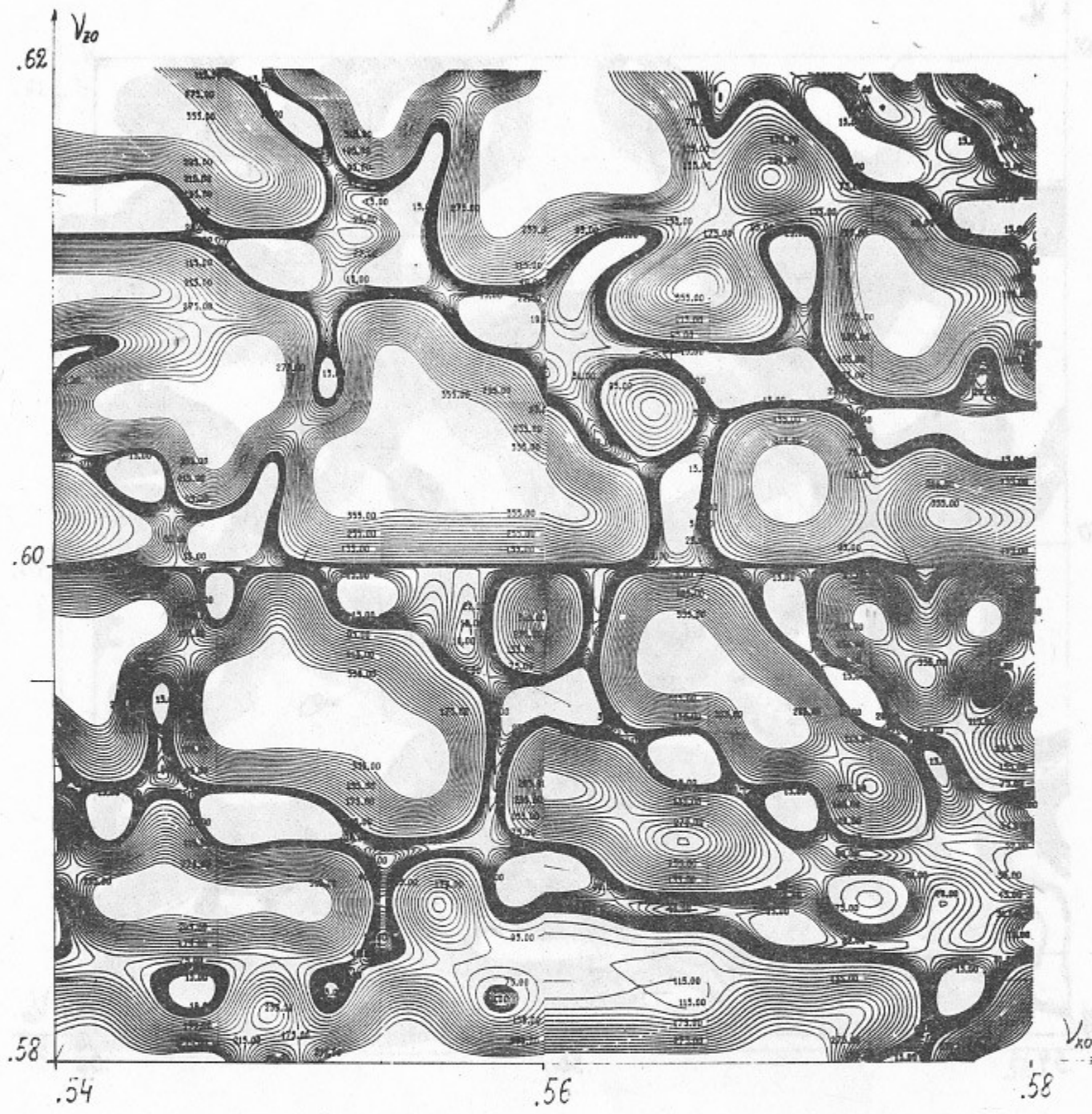


Рис. 5. То же, что на рис. 4, для величины G_{35} .

15



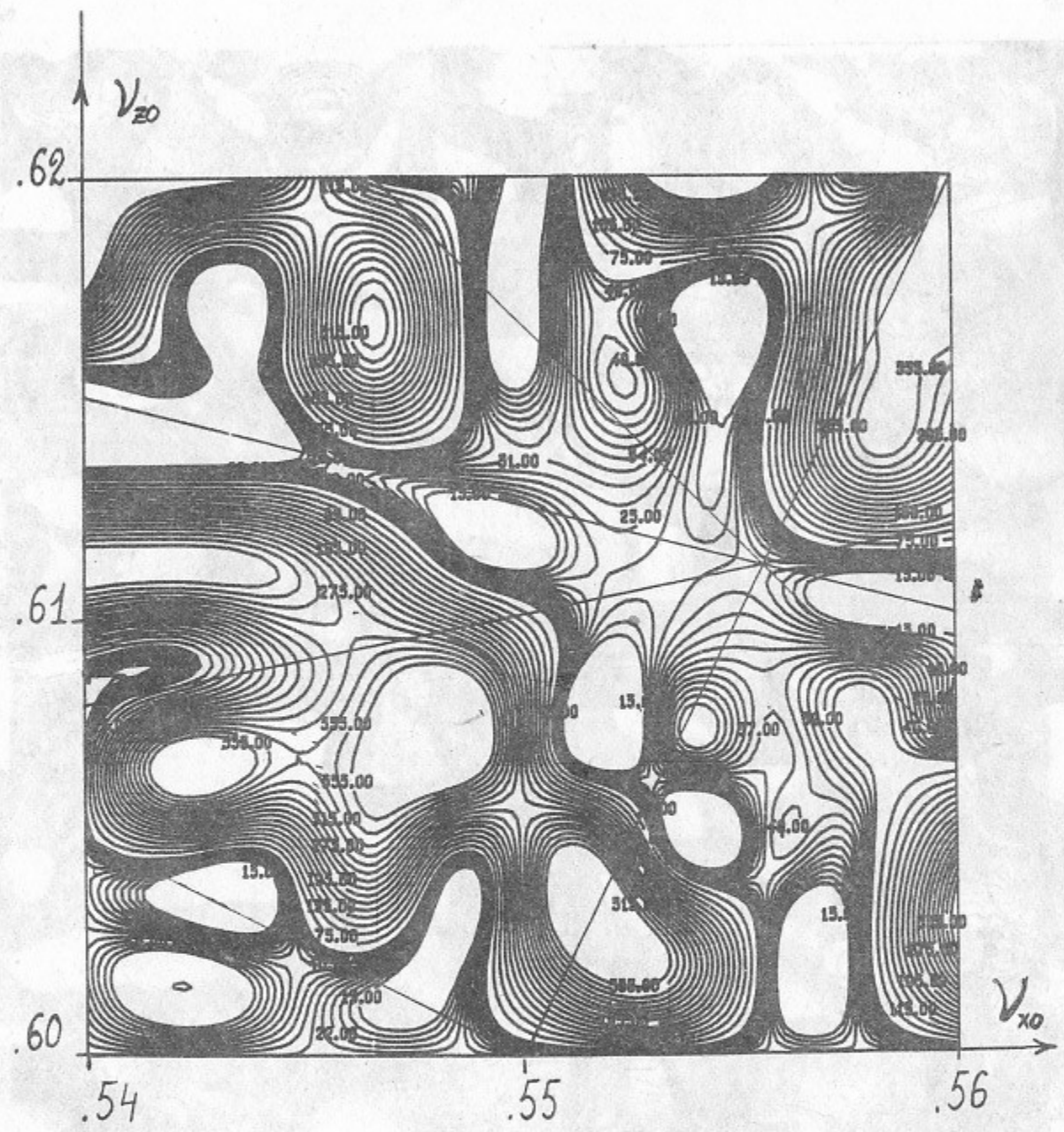


Рис. 8. То же, что на рис. 4, при включении положительной машинной нелинейности $C = +2.4 \cdot 10^{-5}$ и остаточных разведений $\Delta x = 0.1$, $\Delta z = 0.1$.

18

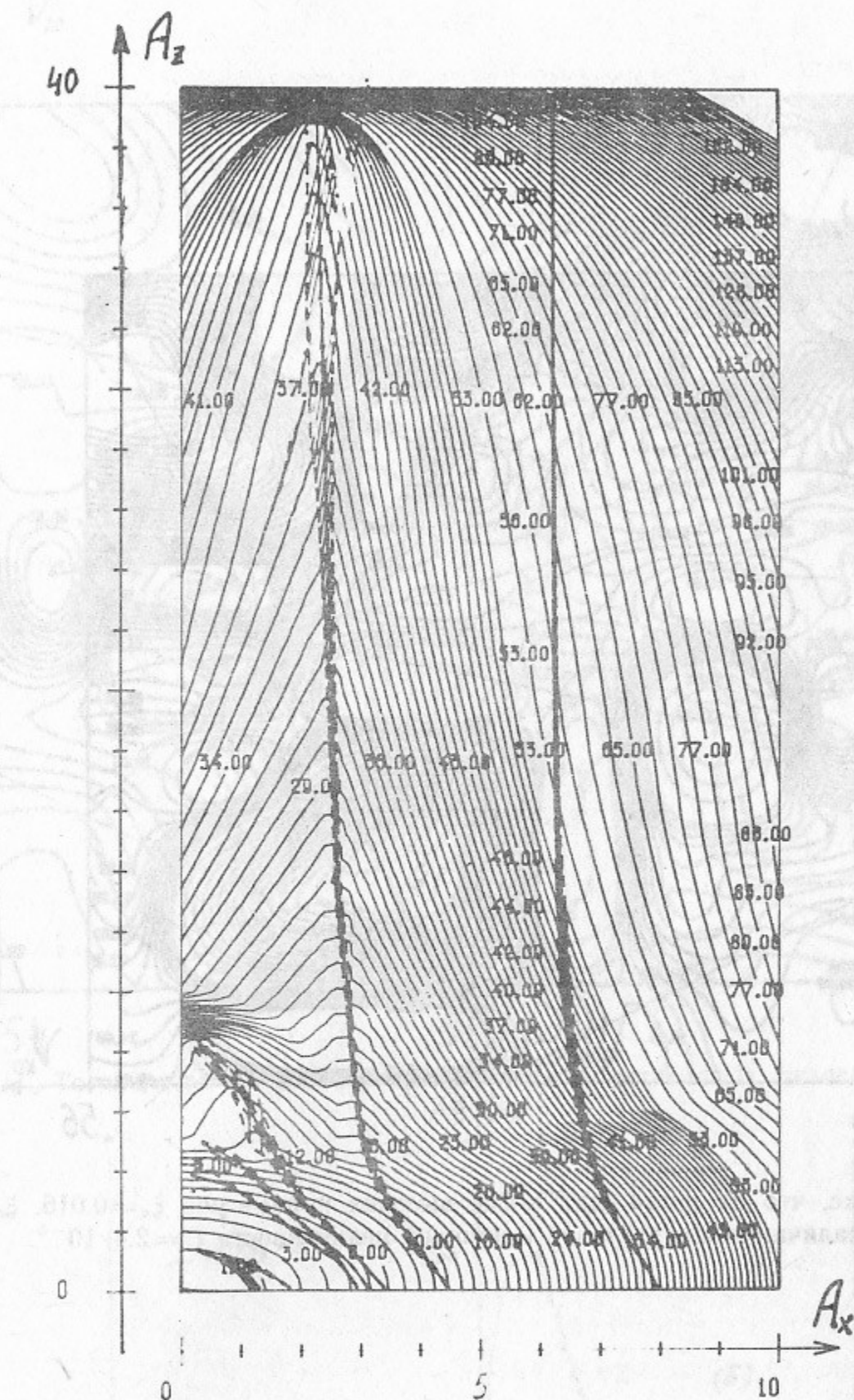
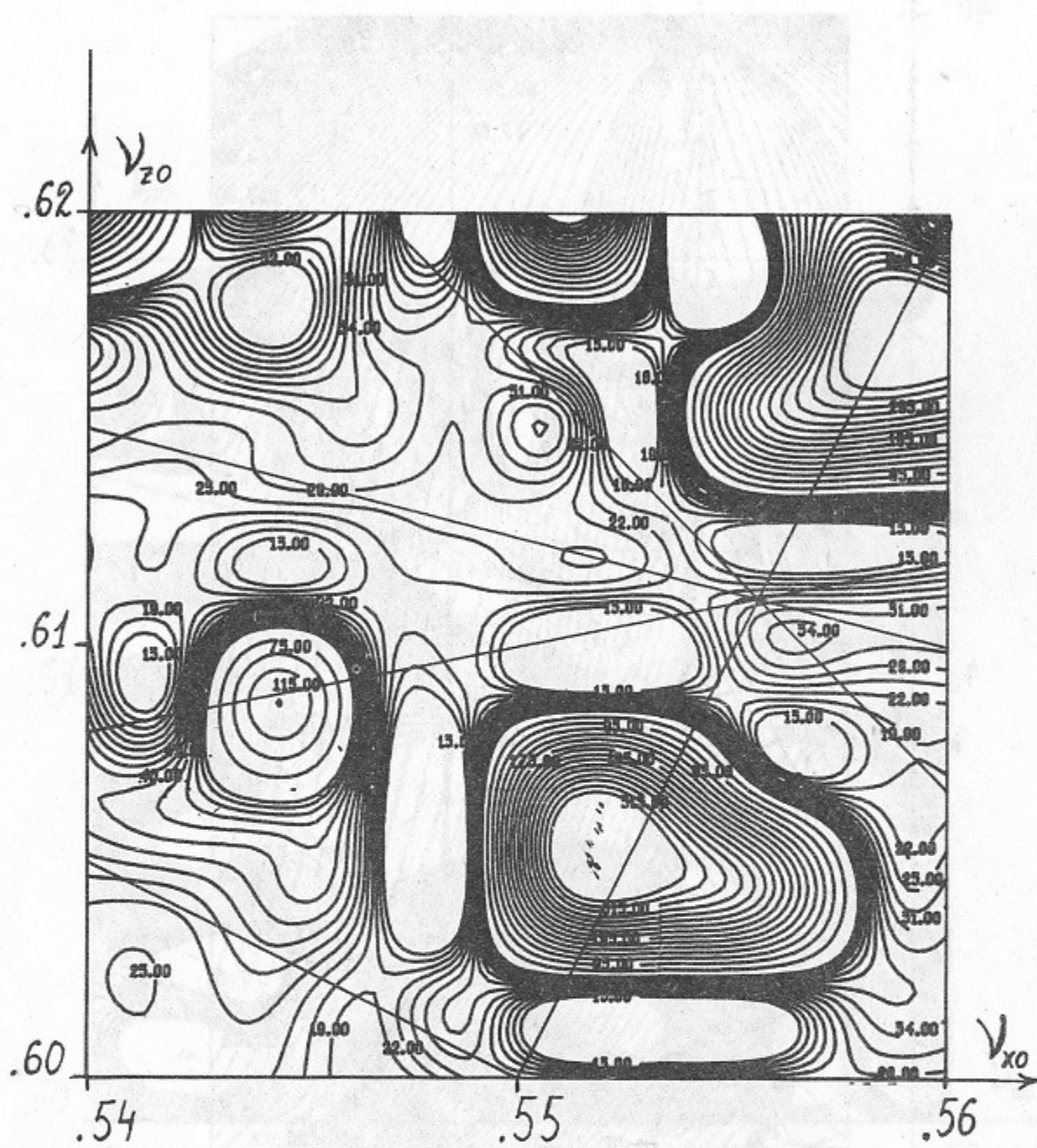


Рис. 9. Распределение Φ и все работающие резонансы в плоскости амплитуд A_x , A_z в точке $v_{x0} = 0.5444$, $v_{z0} = 0.6044$ рис. 8.

19



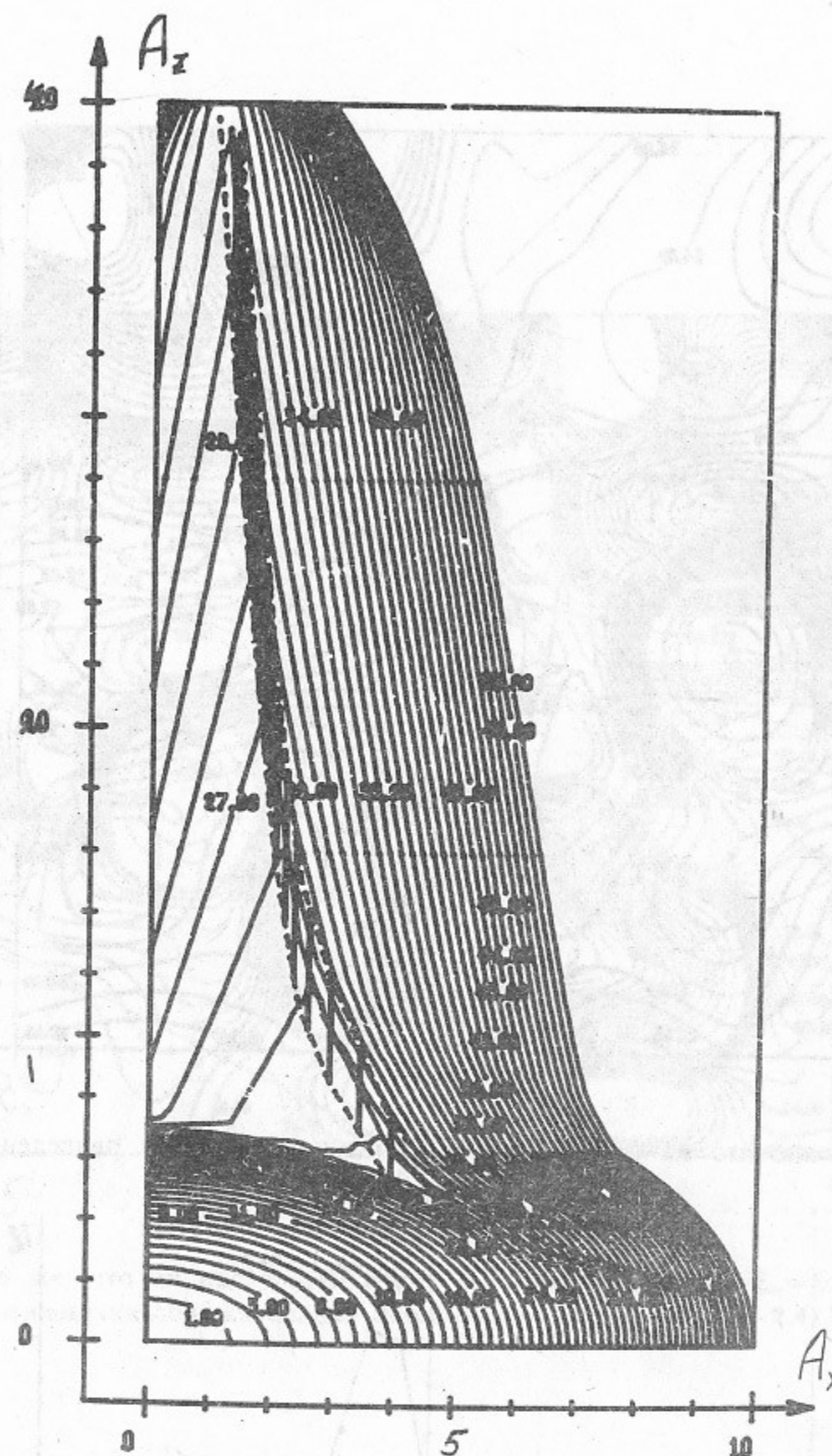
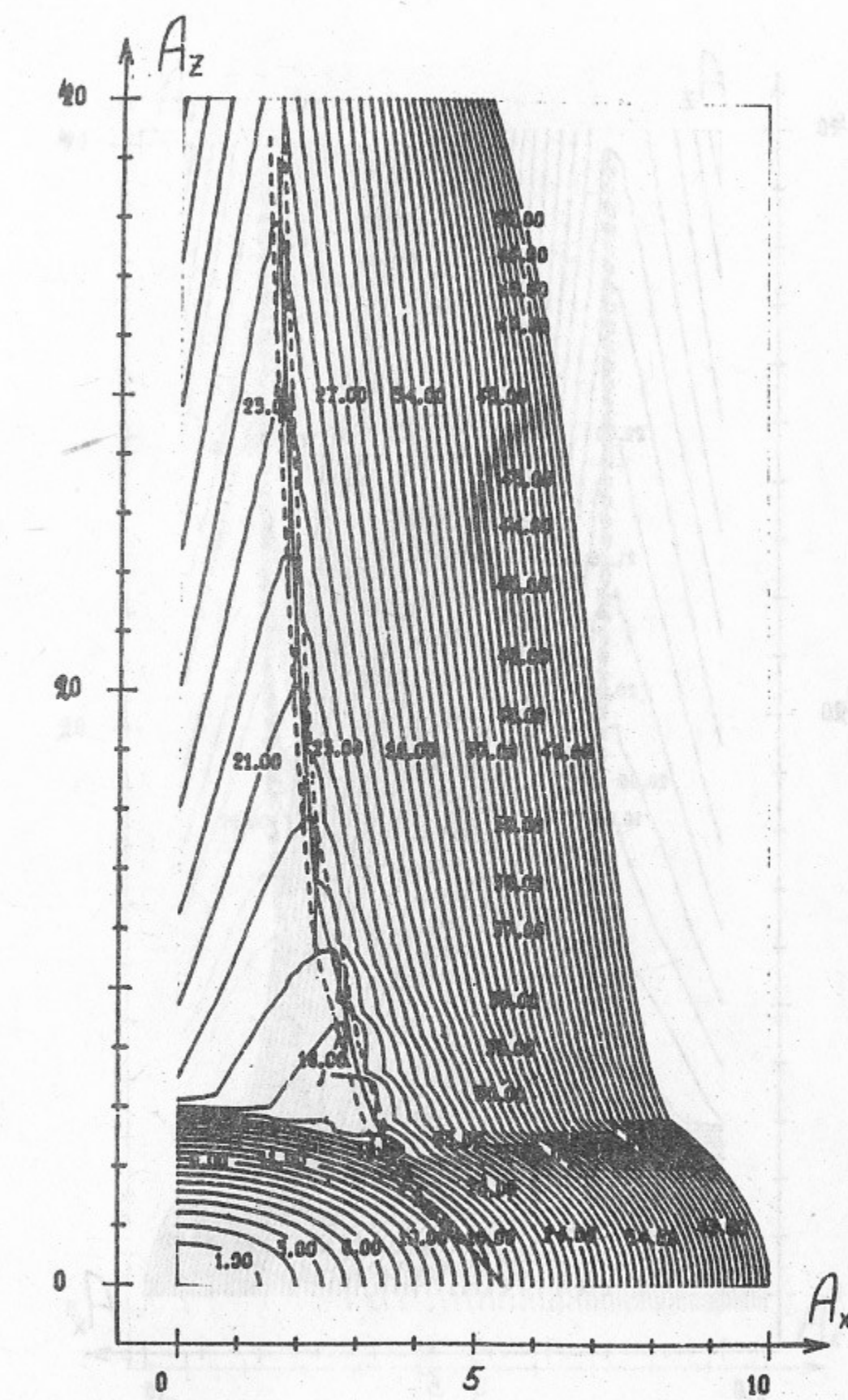
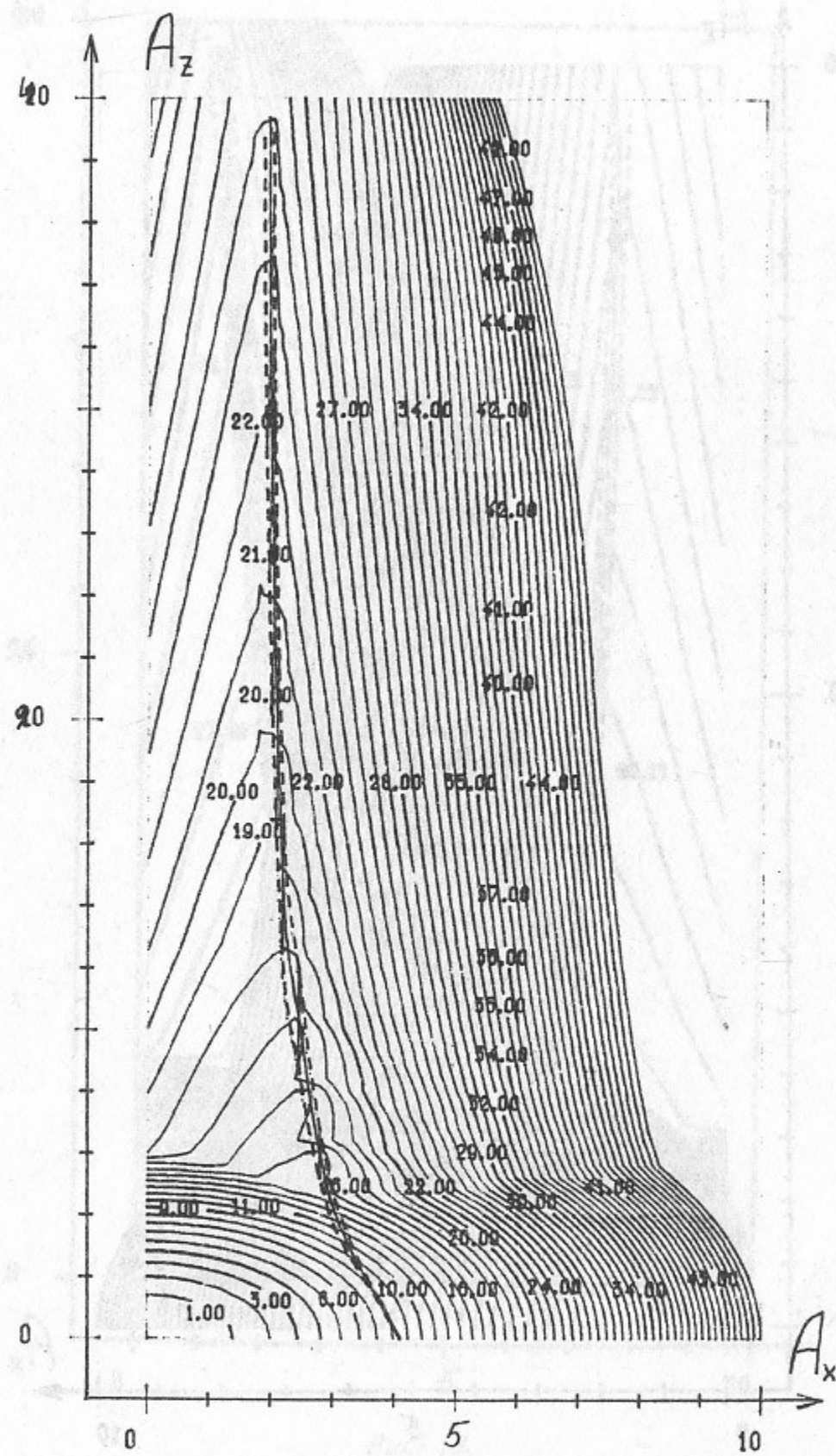


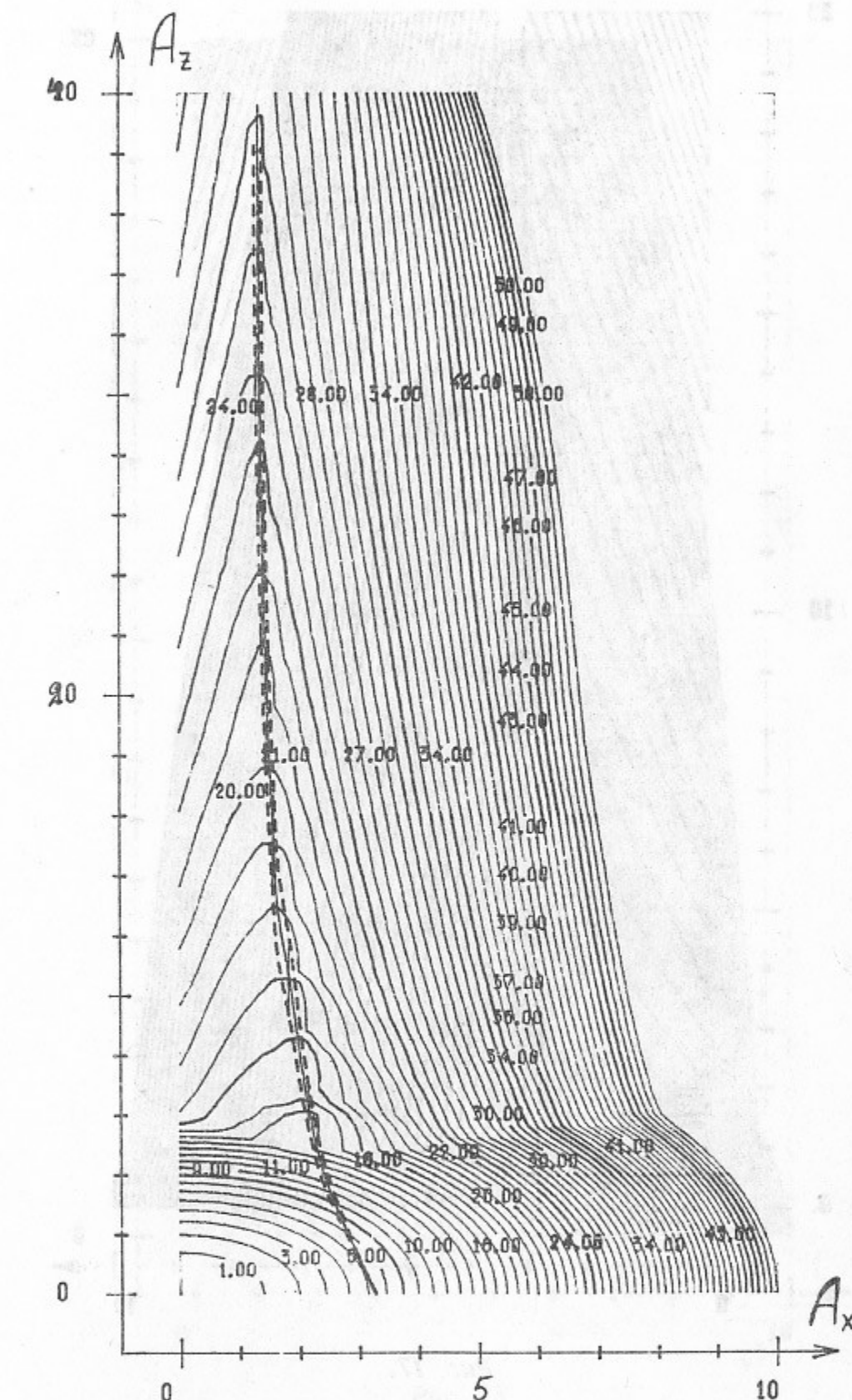
Рис. 13.

Рис. 13—16. Распределение Φ при ограничении величины G_{30} резонансом (2, 8) для случаев представленных в таблице (в порядке слева направо).





Puc. 15.



Puc. 16.

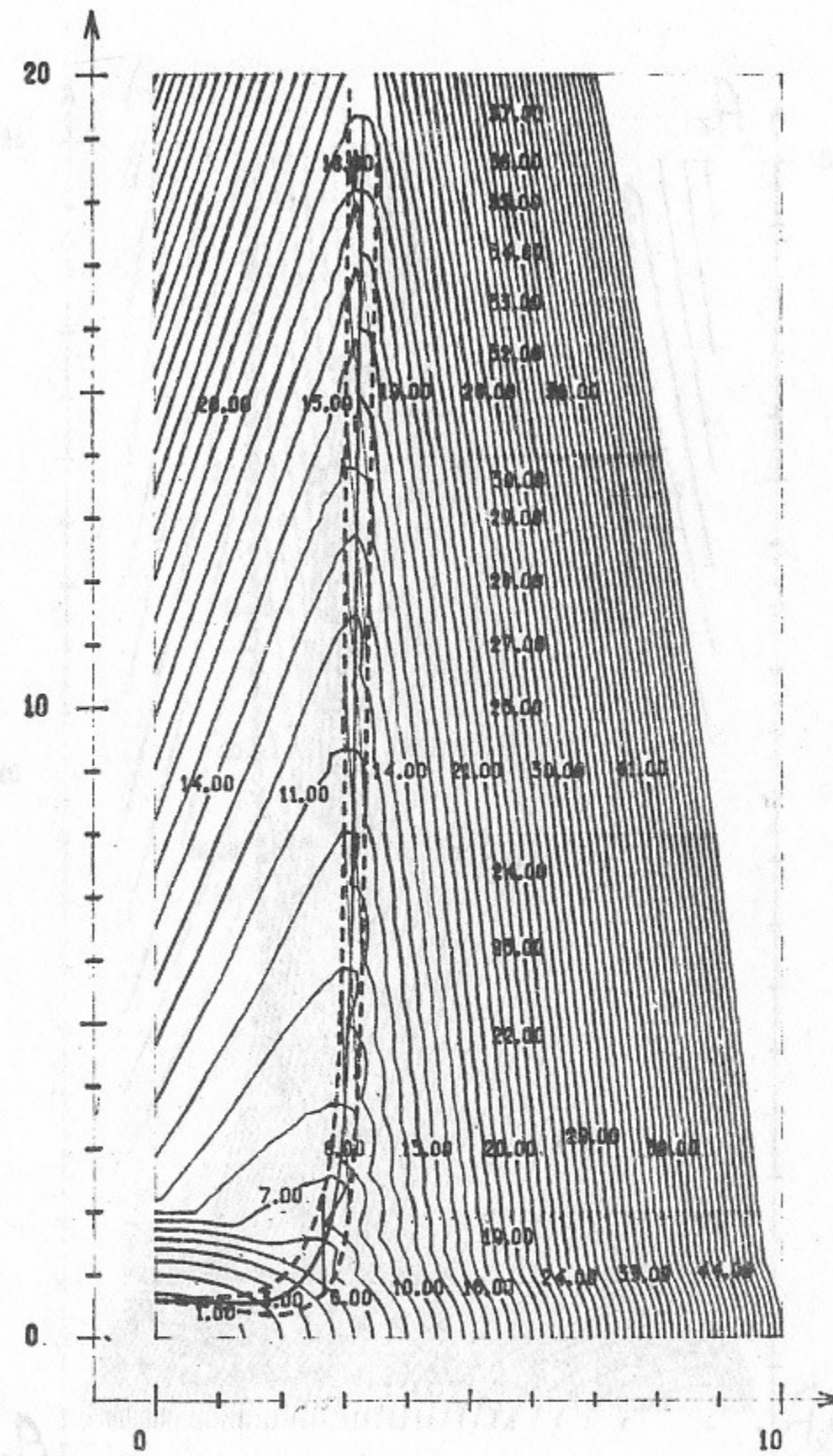


Рис. 17.

Рис. 17—20. Распределение Φ при ограничении величины G_{30} резонансом (4, -2) для случаев, представленных в таблице (в порядке слева направо).

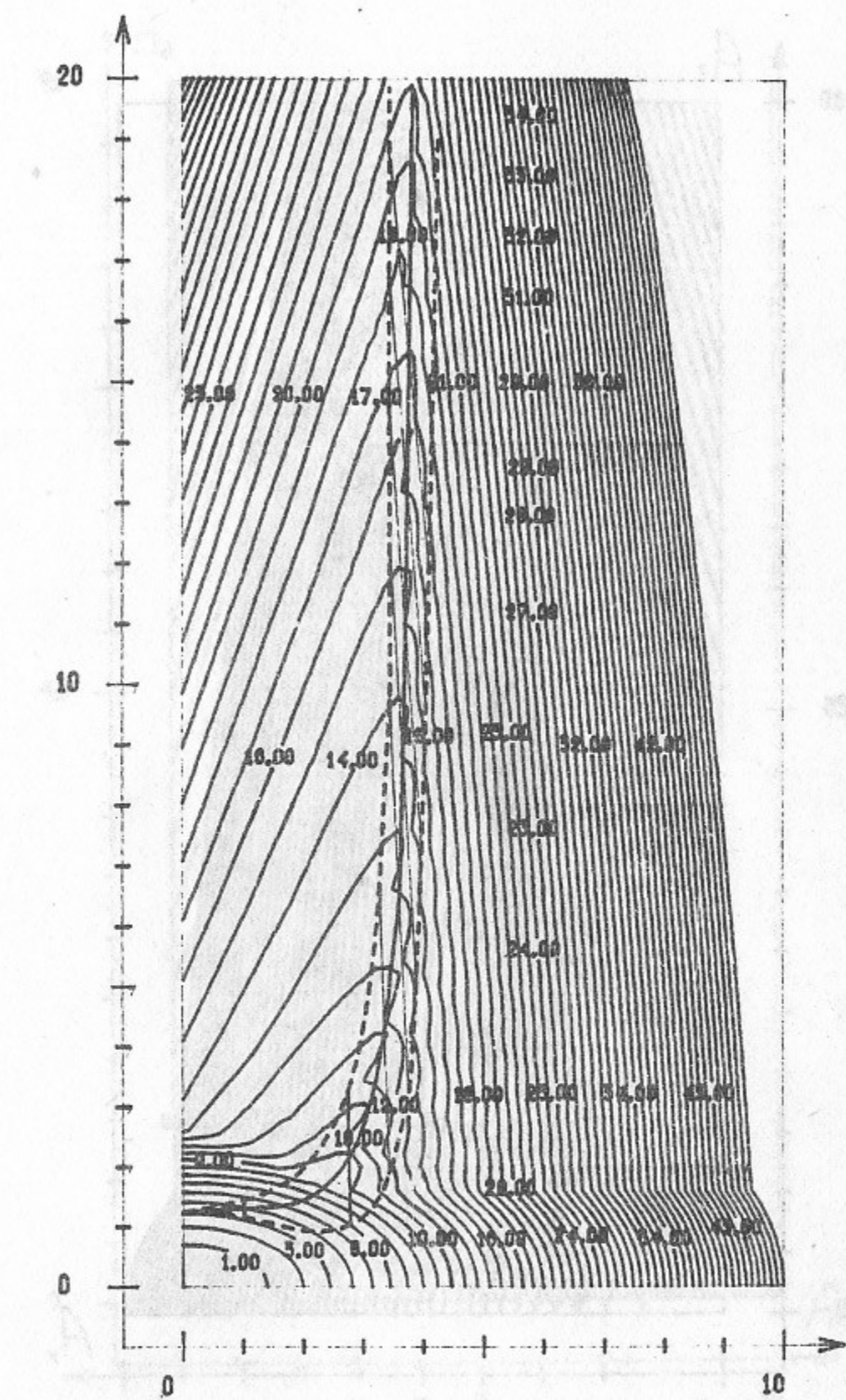


Рис. 18.

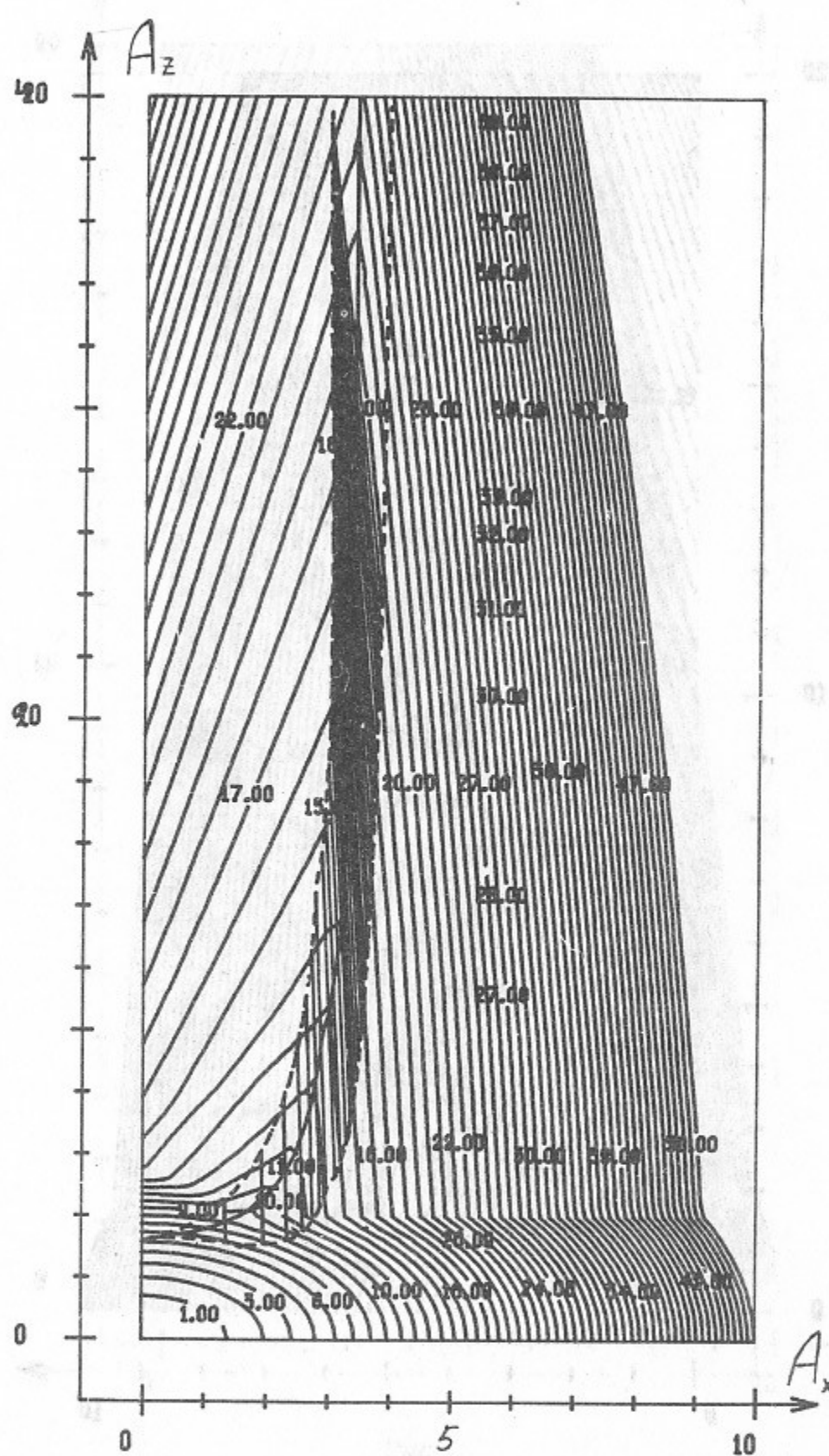


Рис. 19.

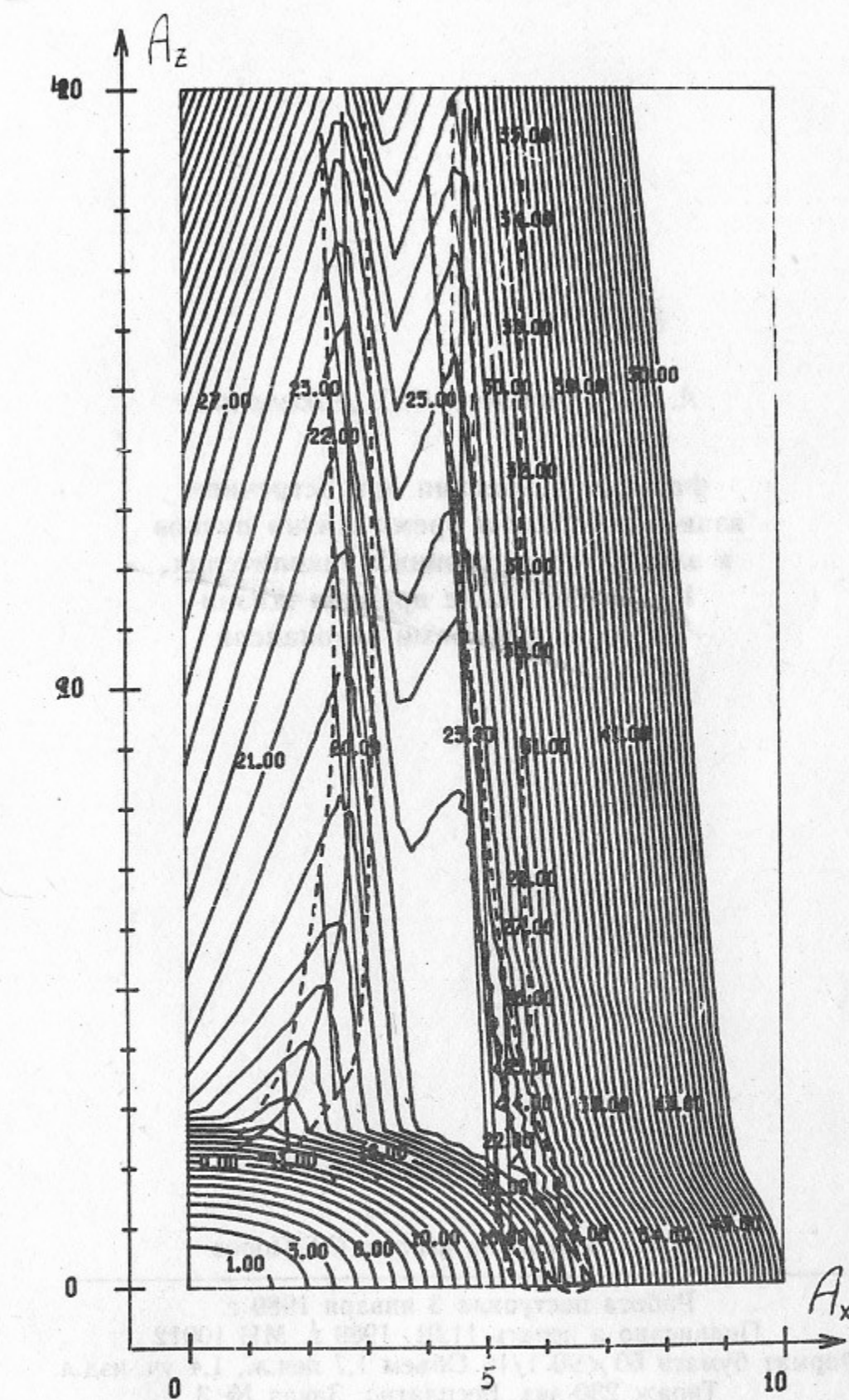


Рис. 20.

А.Л. Герасимов, Н.С. Диканский

**Фазовая конвекция при встречном
взаимодействии и время жизни пучков
в электрон-позитронных накопителях.**

**III. Ограничение времени жизни
полными наборами резонансов**

Ответственный за выпуск С.Г.Попов

Работа поступила 3 января 1989 г.

Подписано в печать 11.01. 1989 г. МН 10012

Формат бумаги 60×90 1/16 Объем 1,7 печ.л., 1,4 уч.-изд.л.

Тираж 230 экз. Бесплатно. Заказ № 3

*Набрано в автоматизированной системе на базе фотонаборного автомата ФА1000 и ЭВМ «Электроника» и отпечатано на ротапринте Института ядерной физики СО АН СССР,
Новосибирск, 630090, пр. академика Лаврентьева, 11.*